

## Segmentation of Mid-Brain Structures Based on Active Contours

L. Amini<sup>\*1,2</sup>, H. Soltanian-Zadeh<sup>1,2,3</sup>, C. Lucas<sup>1,2</sup>, M. Gity<sup>4</sup>

<sup>1</sup>Electrical and Computer Engineering Department, Faculty of Engineering, University of Tehran

<sup>2</sup>School of Intelligent Systems, Institute for Studies in Theoretical Physics and Mathematics, Tehran

<sup>3</sup>Radiology Research Image Analysis Laboratory, Henry Ford Health System, Detroit, MI 48202, USA

<sup>4</sup>Radiology Department, Faculty of Medicine, University of Tehran

*Received 19 November 2003; received in revised form 23 April 2005; accepted 25 May 2005*

### Abstract

Based on a discrete dynamic contour model, a method for segmentation of brain structures like thalamus and red nucleus from magnetic resonance images (MRI) is developed. A new method for solving common problems in extracting the discontinuous boundary of a structure from a low contrast image is presented. External and internal forces deform the dynamic contour model. Internal forces are obtained from local geometry of the contour, which consist of vertices and edges, connecting adjacent vertices. The image data and desired image features such as image energy are utilized to obtain external forces. The problem of low contrast image data and unclear edges in the image energy is overcome by the proposed algorithm that uses several methods like thresholding, unsupervised clustering methods such as fuzzy C-means (FCM), edge-finding filters like Prewitt, and morphological operations. We also present a method for generating an initial contour for the model from the image data automatically. Evaluation and validation of the methods are conducted by comparing radiologist and automatic segmentation results. The average of the similarity between segmentation results is 0.8 for the left and right thalami indicating excellent performance of the new method. Additional noise and intensity inhomogeneity changed the evaluation results slightly illustrating the robustness of the proposed method to the image noise and intensity inhomogeneity.

**Keywords:** Dynamic contours; Clustering; Segmentation; Image processing; Thalamus; Red nucleus; Magnetic Resonance Imaging (MRI)

\* Corresponding author

Address: Electrical and Computer Engineering Department, Faculty of Engineering, University of Tehran, Tehran, I.R.Iran

Tel: +98 21 88020403

Fax: +98 21 88633029

E-mail: [ldamini@hotmail.com](mailto:ldamini@hotmail.com), [ldamini@ipm.ir](mailto:ldamini@ipm.ir)

## جداسازی ساختارهای مغز میانی مبتنی بر مدل‌های دینامیک

لادن امینی<sup>\*</sup><sup>۲،۱</sup>، حمید سلطانیان‌زاده<sup>۳،۲،۱</sup>، کارو لوکس<sup>۱</sup>، معصومه گیتی<sup>۴</sup>

<sup>۱</sup> دانشگاه تهران، دانشکده فنی، گروه مهندسی برق و کامپیوتر، قطب علمی کترول و پردازش هوشمند

<sup>۲</sup> مرکز تحقیقات فیزیک نظری و ریاضیات، پژوهشکده علوم شناختی

<sup>۳</sup> مؤسسه پزشکی فورد آمریکا

<sup>۴</sup> دانشگاه تهران، دانشکده پزشکی، بخش رادیولوژی

تاریخ ثبت اولیه: ۱۳۸۲/۸/۳۰، تاریخ دریافت نسخه اصلاح شده: ۱۳۸۴/۲/۳، تاریخ پذیرش تعطیی: ۱۳۸۴/۳/۴

### چکیده

هدف از انجام این تحقیق، معرفی روشی جدید برای جداسازی ساختارهای خاص مغز میانی مانند تalamوس و هسته قرمز از روی تصاویر تشخیصی است. روشن پیشنهادی مبتنی بر مدل کانتورهای دینامیک می‌باشد. این مدل حاوی یک کانتور یا یک چند ضلعی است که رئوس آن توسط اضلاع به هم وصل شده‌اند. فرآیند تغییر شکل کانتور از حرکت رئوس کانتور اولیه تحت تأثیر نیروهای داخلی و خارجی آغاز می‌شود. نیروهای داخلی از روی شکل هندسی کانتور و نیروهای خارجی از روی ویژگی‌های داده‌های تصویری مانند لبه‌ها محاسبه می‌شوند. ساختارهای مغزی مانند تalamوس در MRI دارای تصویری با لبه‌های ناپیوسته و کتراستی پایین هستند که محاسبه نیروهای خارجی را مشکل می‌سازند. روشن پیشنهادی این مقاله مبتنی بر روشهای خوشیابی بدون سرپرستی فازی، فیلتر لبه‌یابی پریویت و عملگرهای شکلی معرفی شده است. به علاوه، در روشن کانتور دینامیک متداول، کانتور اولیه توسط کاربر تعریف می‌شود که منجر به وابستگی نتایج جداسازی نهایی ساختار به کاربر می‌شود. در رفع این کاستی، یک روشن جدید جهت ایجاد کانتور اولیه به صورت خودکار معرفی شده است. روشن‌های پیشنهادی، پیاده‌سازی شده و بر روی تصاویر واقعی از مغز انسان جهت جداسازی تalamوس و هسته قرمز اعمال شده‌اند. جهت ارزیابی، نتایج جداسازی رادیولوژیست‌ها با روشن پیشنهادی مقایسه شده است. درصد شباهت نتایج جداسازی تalamوس راست و چپ برابر ۰/۸ بوده که توانایی روشن پیشنهادی در جداسازی ساختارهای مغزی مانند تalamوس را نشان می‌دهد. معیارهای ارزیابی نتایج جداسازی روی داده‌های با درصد نویز و شدت غیریکنواختی متفاوت جهت بررسی اثر این دو عامل روی روشن پیشنهادی مورد مطالعه قرار گرفت. تغییر ناچیز نتایج معیارها، نشانگر پایداری روشن نسبت به نویز و شدت غیریکنواختی است.

واژه‌های کلیدی: کانتورهای دینامیک؛ خوشیابی؛ بخش‌بندی؛ پردازش تصویر؛ تalamوس؛ هسته قرمز؛ تصویربرداری با تشخیصی (MRI)

\* عهده‌دار مکاتبات

نشانی: دانشگاه تهران، دانشکده فنی، گروه مهندسی برق و کامپیوتر، قطب علمی کترول و پردازش هوشمند

تلفن: ۰۲۱-۸۸۰۲۰۴۰۳، دورنگار: ۰۲۱-۸۸۶۳۳۰۲۹، پیام‌نگار: [ldamini@hotmail.com](mailto:ldamini@hotmail.com), [ldamini@ipm.ir](mailto:ldamini@ipm.ir)

## ۱- مقدمه

است. محققین از روش کانتورهای شکل‌پذیر نیمه‌خودکار برای جداسازی و تعیین محل ساختارهایی چون هیپوکمپوس از روی تصاویر MR مغز بهره جسته‌اند [۱۲-۱۴]. لبرگت و ویرگور<sup>۱۹</sup> [۱۵] مدل کانتور دینامیک گسسته جدیدی معرفی کرده‌اند که برای جداسازی تصاویر با کتراست پایین مناسب نیست. قانعی و همکاران [۱۲] هندسه پیشنهادی ارائه شده در مرجع ۱۵ را استفاده کرده، نیروی خارجی را با برابر گرفتن با عکس گرادیان انرژی تصویر اصلاح نموده و با به‌کارگیری یک روش تعقیب لبه، مدل را گسترش داده‌اند.

در این تحقیق، بر روی مدل کانتور دینامیک (مدل لبرگت و ویرگور [۱۵]) و خوشبندی فازی<sup>۲۰</sup> تکیه شده است. از مدل لبرگت و ویرگور جهت جداسازی در تصاویر پزشکی استفاده شده است [۱۲]. مدل ارائه شده در مرجع ۱۲ و تغییرات معرفی شده در مرجع ۱۵، پیاده‌سازی شد اما از آنجایی که، ساختارهای با کتراست پایین و لبه‌های ناپیوسته مانند تalamوس با این روش جداسازی نمی‌شدند، مدل جدیدی برای بهبود قابلیت آن در جداسازی خودکار ساختارهای مغز میانی ارائه شده است. در این راستا، به جای روش‌های لبه‌یابی استاندارد، الگوریتم جدیدی مبتنی بر خوشبندی بدون سرپرستی فازی FCM [۱۷، ۱۸]، آستانه‌گذاری<sup>۲۱</sup> و عملگرهای شکلی<sup>۲۲</sup> معرفی گردید. این الگوریتم جدید برای استخراج مشخصات مطلوب از تصویر MR مغز به کار می‌رود تا مقادیر صحیح نیروی خارجی جهت حرکت کانتور به لبه‌های واقعی ساختارهای خاص مغز میانی محاسبه شود. بدین ترتیب با ارائه روشی جدید در ایجاد انرژی تصویر و معرفی الگوریتمی در خودکارسازی تولید کانتور اولیه می‌توان ساختارهای خاص مغز میانی را به طور خودکار با کانتورهای دینامیک جداسازی نمود.

## ۲- روش کار

**۲-۱- بررسی مدل پایه و توسعه کانتور دینامیک پیشنهادی**  
روش‌های خوشبندی فازی و مدل‌های دینامیک مرسوم، قادر

ویژگی‌هایی از تalamوس<sup>۱</sup> و هسته قرمز<sup>۲</sup> مانند حجم، به علت بیماری‌های نورولوژیک تغییر می‌کنند چرا که این ساختارها به ویژه تalamوس، نقش مهمی در بسیاری از فعالیت‌های مغزی دارند. رله و تجزیه و تحلیل حسی و حرکتی، تشخیص حرکت‌های دردآور و پاسخ هیجانی به حس‌ها از جمله اعمال تalamوس می‌باشند. هم‌چنین تalamوس در حافظه، رفتار غریزی افراد، فعالیت و هوشیاری آنها دخالت دارد. سیگنال‌های ورودی به هسته قرمز از نواحی موتوری قشر مغز<sup>۳</sup> و از مخچه<sup>۴</sup> نشأت گرفته به طوری که این هسته، در کترول حرکت دخیل است [۳-۱].

برخی از روش‌های جداسازی ساختارهای مغزی مبتنی بر روش‌های معرفتی<sup>۵</sup> است [۴]. از جمله این روش‌ها، روش فازی و ترکیب اطلاعات<sup>۶</sup> [۲]، اصل فرضیه و تأیید<sup>۷</sup> به کمک روش بهینه‌سازی الگوریتم ژنتیک<sup>۸</sup> [۵]، طبقه‌بندی ناحیه‌ای<sup>۹</sup> با استفاده از الگوریتم ژنتیک [۶] و روش ساها و ادوپا<sup>۱۰</sup> [۷] است که این روش، آستانه بهینه را از طریق عدم اطمینان دسته‌ای<sup>۱۱</sup> و همگنی ناحیه‌ای<sup>۱۲</sup> تعیین می‌کند. روش‌های دیگر بر مبنای راه‌کارهای پردازش تصویر<sup>۱۳</sup> بوده و یا چندین روش را با هم ترکیب می‌کنند. با این وجود، اکثر روش‌های جداسازی در این موضوع تاکنون بر ردبایی دستی استوار بوده و بنابراین، تحت تأثیر خطاهای مشاهده‌کننده می‌باشد. در تصاویر تشدید مغناطیسی<sup>۱۴</sup>، تalamوس دارای کتراست<sup>۱۵</sup> پایین و لبه‌های ناپیوسته است. این موضوع جداسازی اتوماتیک و دقیق تalamوس را با پیچیدگی مواجه می‌نماید.

روش‌های کانتور دینامیک<sup>۱۶</sup> یا مدل مار<sup>۱۷</sup> [۱۰-۸] و پخش موج<sup>۱۸</sup> مانند مجموعه‌های تراز [۱۱]، مدعیان جدیدی برای جداسازی هستند. قابلیت این روش‌ها به تغییر شکل آزادانه و انعطاف‌پذیر، استفاده از آنها را بیش از پیش ترغیب می‌کند. محدودیت‌های ذاتی این روش‌ها، استفاده از آنها را در بسیاری از موارد جداسازی پزشکی نامناسب می‌سازد. یکی از این محدودیت‌ها ناشی از ایجاد مدل اولیه به طور دستی

<sup>1</sup> Thalamus

<sup>2</sup> Red nucleus

<sup>3</sup> Cerebral Cortex

<sup>4</sup> Cerebellum

<sup>5</sup> Knowledge based

<sup>6</sup> Information fusion

<sup>7</sup> Hypothesis and verify

<sup>8</sup> Genetic Algorithm (GA)

<sup>9</sup> Region wise classification

<sup>10</sup> Saha and Udupa

<sup>11</sup> Class uncertainty

<sup>12</sup> Region homogeneity

<sup>13</sup> Image processing

<sup>14</sup> Magnetic Resonance Imaging (MRI)

<sup>15</sup> Contrast

<sup>16</sup> Dynamic contours

<sup>17</sup> Snakes model

<sup>18</sup> Wave propagation

<sup>19</sup> Lobregt and Viergever

<sup>20</sup> Fuzzy C-Means (FCM)

<sup>21</sup> Theresholding

<sup>22</sup> Morphological operators

اگر انرژی  $S_{\alpha,i}$  از همسایه‌هایش روی  $r_i$  کمتر باشد و از مقدار انرژی آستانه،  $E_t$ ، نیز کمتر باشد، آن محل به عنوان لبه در نظر گرفته می‌شود و جستجو خاتمه می‌یابد. شرط کمتر بودن از مقدار آستانه، از گیر افتادن کانتور در حداقل‌های محلی ناچیز ناشی از نویز جلوگیری می‌کند. مقدار بهینه  $E_t$  از مقایسه نواحی لبه‌دار تصویر با نواحی بدون لبه آن به دست آید. مقدار  $E_t$  برای تصاویر مشابه قابل استفاده می‌باشد. نحوه جستجوی ارائه شده در این تحقیق علاوه بر مزایای فوق، وابستگی مدل را نیز به این پارامتر کاهش می‌دهد.

بعد از پیدا کردن لبه از روی حداقل محلی انرژی تصویر، نیروی خارجی رأس مربوطه محاسبه می‌شود. این نیرو، منفی گرادیان انرژی تصویر و به طرف لبه می‌باشد. اگر هیچ لبه‌ای یا هیچ حداقل محلی انرژی یافت نشود مقدار انرژی خارجی برابر صفر قرار داده می‌شود. نیروی خارجی به مانند نیروی فری است که رئوس کانتور را به سمت مرزهای ساختار مورد نظر می‌کشاند:

$$f_{ex,i} = \beta((S_{min,i} - P_i) \cdot r_i) = -\beta \alpha_{min} r_i \quad (2)$$

به طوری که  $\beta$  ثابت مثبتی است که طول نیروی خارجی را نرمالیزه می‌کند، همان  $S_{min,i}$  در محل لبه بوده و برابر  $P_i - \alpha_{min} r_i$  است.

الگوریتم زیر فرآیند بهبود یافته فوق را خلاصه می‌کند:  
۱-  $i=0$  قرار بده.

۲- اگر  $N = i$ ، آنگاه خارج شو.  
۳-  $\alpha = 0$  قرار بده.

۴-  $S_{\alpha,i} = P_i - \alpha r_i$  قرار بده.

۵- اگر  $E_{im}(S_{\alpha,i}) \leq E_{im}(S_{\alpha,i} + \Delta\alpha r_i)$  و  $E_{im}(S_{\alpha,i}) < E_t$   
۶- لبه مشخص شد.  $S_{min} = S_{\alpha,i}$  و  $\alpha_{min} = \alpha$  قرار بده.  
۷-  $f_{ex,i}$  را از روی رابطه ۲ محاسبه کن.  $i = i+1$  قرار بده و برو به مرحله ۲.

۸- در غیر این صورت، اگر  $\alpha = \alpha + \Delta\alpha$ ،  $\alpha < \alpha_{max}$  قرار بده و برو به مرحله ۴.  
۹-  $f_{ex,i} = 0$  قرار بده.  $i = i+1$  قرار بده و برو به مرحله ۲.

به جداسازی ساختارهای خاصی مانند تalamوس نیستند (توضیحات بیشتر در ضمیمه ۱ آورده شده است). از این رو مدل کانتور دینامیک را توسعه داده‌ایم. ساختار هندسی مدل، نیروها و فرآیند تغییر شکل [۱۵، ۱۲] در ضمیمه ۲ ارائه شده است. در این بخش تغییرات اعمال شده بر مدل و نیروی خارجی بهبود یافته شرح داده شده است.

## ۲-۱- نیروی خارجی بهبود یافته

غنى و همکاران، روشنی جهت جلوگیری از به دام افتادن کانتور در لبه‌های ناخواسته یا حداقل‌های محلی انرژی نامطلوب ارائه داده‌اند [۱۲]. در این روش، تعییب لبه برای هر رأس،  $\alpha$  در راستای بردار ساعی،  $r_i$  و تا فاصله مشخصی از لبه جستجو می‌شود. لبه‌ها جایی خواهد بود که انرژی خارجی در آنجا حداقل شود. هر نقطه روی  $r_i$  می‌تواند به صورت یک بردار پارامتری به شکل  $P_i - \alpha r_i$  در نظر گرفته شود.  $\alpha$  از  $\alpha_{max} - \alpha$  با طول گام  $\Delta\alpha$  تغییر می‌کند که این تغییر منجر به حرکت  $r_i$  در راستای  $r_i$  در جستجوی لبه از داخل تا خارج ساختار می‌شود.  $\alpha_{max}$  تعیین‌کننده بیشینه فاصله بین نقطه نشانه اولیه (نقطه روی کانتور اولیه) تا نقطه روی مرز می‌باشد.  $\Delta\alpha$ ، بیشینه خطای از حداقل محلی انرژی است. در این نحوه جستجو که در مرجع ۱۲ جهت جلوگیری از به دام افتادن کانتور در لبه‌های ساختارهای کناری ارائه شده است به گیر افتادن کانتور در لبه‌های مقابل خود ساختار مورد نظر، توجهی نشده است. در این تحقیق با تغییر  $\alpha$  از صفر تا  $\alpha_{max}$ ، مشکل به دام افتادن کانتور به مرز مقابل مرز مورد نظر ساختار حل شده و بیشینه فاصله جستجو از  $2\alpha_{max}$  به  $\alpha_{max}$  کاهش یافته است که منجر به افزایش سرعت جستجو می‌شود. با تغییر  $\alpha$  از صفر تا  $\alpha_{max}$  در راستای  $r_i$  از نقطه نشانه اولیه روی کانتور اولیه تا لبه مورد نظر حرکت می‌کند. در هر مرحله انرژی  $i$  با همسایه‌اش روی  $r_i$  مقایسه می‌شود

$$E_{im}(S_{min,i}) < E_{im}(S_{min,i} + \Delta\alpha r_i) \quad (1)$$

به طوری که  $(x, E_{im}(x))$ ، انرژی تصویری در نقطه  $x$  و  $S_{min,i}$  همان  $S_{\alpha,i}$  در محلی است که لبه در آنجا یافت شده است.

نتایج جداسازی قابل قبولی در کاربرد این تحقیق ندارند. از این رو، الگوریتم جدیدی به نام "یابنده انرژی تصویر بهبود یافته"<sup>۲۴</sup> برای تولید توزیع انرژی مناسب جهت استخراج ویژگی‌های مطلوب از تصویر، محاسبه صحیح نیروهای خارجی و حرکت کانتور به سمت لبه‌ها پیشنهاد شده است که به شرح زیر است:

۱- روش پریویت جهت به دست آوردن توزیع انرژی اولیه به کار گرفته می‌شود. روش پریویت، لبه‌ها را با استفاده از تقریب پریویت برای مشتق پیدا می‌کند. خروجی این روش، نقاطی هستند که در آنها، گرادیان شدت روشنایی تصویر پیشنه بوده و این نقاط، همان لبه‌ها هستند. توزیع انرژی اولیه در شکل ۱-الف آمده است.

۲- با آستانه‌گذاری از روی تصویر اصلی نرمالیزه، یک تصویر باینری<sup>۲۵</sup> به نام نقشه باینری تهیه می‌شود. مقدار بهینه آستانه، یک بار که توسط کاربر انتخاب شود برای تمامی حالت‌های مشابه قابل استفاده می‌باشد. در اینجا، مقدار  $0.3$  با آزمایش روی تعدادی از تصاویر مغزی متفاوت، برای آستانه انتخاب شده است. با برهم‌نگه<sup>۲۶</sup> تصویر باینری بر توزیع انرژی اولیه، لبه‌ها مشخص‌تر می‌شوند. شکل ۱-ب، نتیجه برهم‌نگه تصویر باینری بر توزیع انرژی اولیه را نشان می‌دهد. شرح تفصیلی این مرحله از الگوریتم در مرجع ۲۰ آمده است.

۳- از آنجایی که تالاموس یک ساختار ماده خاکستری است، نقشه لبه<sup>۲۷</sup> ماده خاکستری را محاسبه کرده و انتظار می‌رود کانتور نهایتاً به مرزهای ماده خاکستری مطلوب همگرا شود. جهت استخراج مرزهای ماده خاکستری، الگوریتم خوش‌یابی فازی FCM [۱۷] با درجه فازی برابر  $1/7$  و تعداد خوش‌های برابر  $6$  [۲۰، ۲۲-۲۰، ۲] بر روی تصویر اصلی اعمال می‌شود (شکل ۱-پ). خوش‌هایی که شامل ماده خاکستری هستند ترکیب می‌شوند تا نقشه بهتر و جامع‌تری از ماده خاکستری حول تالاموس به دست آید. لازم به ذکر است خروجی الگوریتم خوش‌یابی FCM، تصاویر باینری می‌باشد. در شکل ۱-ت نتیجه ترکیب خوش‌های مشاهده می‌شود.

**۲-۱-۲- روش پیشنهادی جهت ایجاد انرژی تصویر**  
در اینجا ابتدا فرآیند تغییر شکل به طور مختصر بیان می‌گردد تا اهمیت استفاده از انرژی خارجی مناسب مشخص شود. سپس الگوریتم پیشنهادی جهت استخراج ویژگی‌های مطلوب از تصویر شرح داده می‌شود. فرآیند تغییر شکل از یک کانتور اولیه آغاز می‌گردد. برای هر رأس در راستای شعاعی،  $i$ ، لبه جستجو می‌شود. مکانی از تصویر بر روی  $i$  لبه شناخته می‌شود که انرژی تصویر در آن مکان به صورت محلی حداقل شده باشد، بنابراین، جستجو تا زمانی که حداقل محلی یافت شود ادامه می‌یابد. سپس نیروی خارجی محاسبه می‌شود که رأس را به سمت لبه ساختار مورد نظر می‌کشاند. اگر لبه‌ای یافت نشود مقدار نیروی خارجی صفر قرار داده می‌شود.

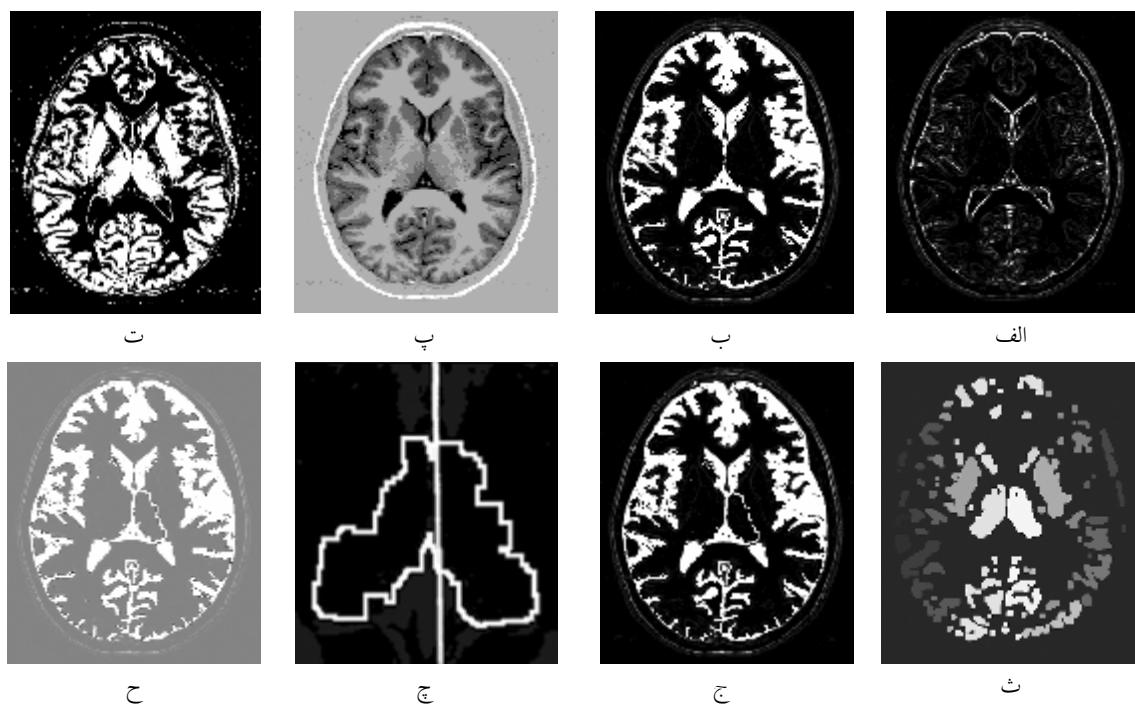
در مرجع ۱۵ شرط توقف هنگامی مهیا می‌شود که سرعت، شتاب و مجموع وزنی نیروهای همه رؤوس صفر شود که بسیار وقت‌گیر است. در این تحقیق، وقتی همه رؤوس متوقف شده باشند فرآیند تغییر شکل به طور اتوماتیک، به اتمام می‌رسد. هر رأس، وقتی نیروی خارجی خیلی کوچک شود سرعت، وزن نیروی خارجی، وزن تطبیقی نیروی داخلی و وزن نیروی میراکنده ( $w_{damp,i}, w_{in,i}, w_{ex,i}$ ) و سرعتش ( $v_i$ ) صفر قرار داده شده و در نتیجه، رأس متوقف می‌شود.

ساختارهای مغز میانی در تصاویر MR و به ویژه، تالاموس، دارای کتراست و سیگنال به نویز پایین هستند لذا انرژی تصویر به دست آمده با روش‌های استاندارد قادر به استخراج ویژگی‌های مطلوب از تصویر نیست. از این رو، ایجاد روشی مناسب برای محاسبه انرژی تصویر جهت محاسبه نیروهای خارجی و حرکت کانتور به سمت لبه‌ها، امری ضروری است. استفاده از عملگرهای استاندارد تشخیص لبه ممکن است برای موارد استفاده خاص خوب عمل کنند ولی برای کاربرد این تحقیق مناسب نیستند. به هر حال، به دلیل وجود لبه‌های ناپیوسته، سیگنال به نویز پایین و کتراست پایین لبه‌های ساختار مورد نظر، انرژی تصویر استخراج شده توسط روش‌های استاندارد، مانند لبه‌یابی پریویت<sup>۲۸</sup> [۱۹]، به تنها بی

<sup>23</sup> Prewitt edge-finding filter  
<sup>26</sup> Over lay

<sup>24</sup> Improved Image Energy Finder  
<sup>27</sup> Edge map

<sup>25</sup> Binary



شکل ۱

الف- انرژی تصویر اولیه که توسط روش پریویت به دست آمده است؛ ب- نتیجه برهم‌نگی نقشه باینری بر روی انرژی تصویر اولیه؛ پ- نتیجه خوش‌یابی فاز (FCM)؛ ت- نتیجه ترکیب خوش‌های شامل تalamوس؛ ج- نتیجه برچسب‌گذاری اجزاء هم بند در نقشه لبه‌ای ماده خاکستری؛ ح- نتیجه برهم‌نگی مرز نادقیقی (Coarse) تalamوس روی انرژی تصویر نیمه بهبود یافته (مرحله دوم از الگوریتم قسمت ۱-۲)؛ ج- نتیجه پیدا کردن خط وسط مغز جهت جدا کردن تalamوس‌ها؛ ح- نتیجه درون‌یابی انرژی تصویر بهبود یافته

مرکز نقل مغز) به دست می‌آید. از این رو، در تصاویری که تalamوس‌ها به هم چسبیده‌اند خط وسط مغز جهت جدا کردن آنها استفاده می‌شود (شکل ۱-ج).

۷- به دلیل گستره بودن توزیع انرژی بدست آمده، وقتی دو وضعیت با حداقل انرژی برای کانتور وجود دارد کانتور نهایی بین آن دو، نوسان می‌کند. برای حل این مشکل، انرژی تصویر با تابع اسپلاین<sup>۳۳</sup> درون‌یابی می‌شود تا بتوان به نقشه پیوسته‌ای دست یافت. نتیجه درون‌یابی [۲۳] در شکل ۱-ح نشان داده شده است.

### ۱-۳-۳- ایجاد کانتور اولیه

فرآیند تغییر شکل از یک کانتور اولیه آغاز می‌گردد. جهت حل مشکل وابستگی نتایج جداسازی مدل‌های کانتور دینامیک، روشی برای تولید کانتور اولیه معرفی می‌شود. همان طور که گفته شد تalamوس یک ساختار ماده خاکستری است و محل تقریبی<sup>۳۴</sup> آن با استفاده از نقشه لبه ماده

۴- جهت جدا کردن ماده خاکستری اطراف تalamوس که متعلق به این ساختار نیستند، نقشه ماده خاکستری منقبض<sup>۲۸</sup> می‌شود. المان ساختاری<sup>۲۹</sup> متناظر این انقباض، یک ماتریس ۳×۳ شامل یک‌ها می‌باشد. اجزاء هم‌بند در تصویر باینری بدست آمده برچسب‌گذاری<sup>۳۰</sup> می‌شوند تا هر تalamos در یک خوش‌های مجزا قرار گیرد. نتیجه با همان المان ساختاری مشابه انقباض، منبسط<sup>۳۱</sup> می‌شود تا نقشه دقیق‌تری از شکل تalamos به دست آید (شکل ۱-ث).

۵- اگر چهار همسایه هر پیکسل همگی ۱ باشند آن پیکسل از تصویر، صفر قرار داده می‌شود بنابراین، فقط پیکسل‌های مرزی باقی می‌مانند. نتیجه برهم‌نگی مرز تalamos بدست آمده بر روی نتیجه مرحله ۲، در شکل ۱-ج آمده است.

۶- از آنجایی که در برخی از تصاویر، لایه‌های مغزی، تalamos‌ها در خط وسط<sup>۳۲</sup> به هم متصل شده‌اند برای افزایش کارآیی الگوریتم در شناسایی تalamos در تمام لایه‌های مغزی، خط وسط مغز (محور تقارن [۲۳] گذرنده از

<sup>28</sup> Erode  
<sup>32</sup> Midline

<sup>29</sup> Structuring Element (SE)  
<sup>33</sup> Spline

<sup>30</sup> Labeling  
<sup>34</sup> Coarse location

<sup>31</sup> Dilate

شامل یک‌ها منبسط شده تا خوشه بهتر و دقیق‌تری از شکل هسته قرمز به دست آید. در مرحله پنجم، مرز هسته قرمز به دست می‌آید. جهت به دست آوردن مرز، مقدار هر پیکسل از تصویر که چهار همسایه‌اش یک باشند، صفر قرار داده می‌شود. در مرحله ششم، درون‌یابی توزیع انرژی بدست آمده با تابع اسپلاین محاسبه می‌شود.

## ۲-۲- روش تهیه داده‌های تجربی برای ارزیابی مدل پیشنهادی

در این تحقیق، از تصاویر MR مربوط به ۱۱ فرد استفاده شده است. این تصاویر توسط سه پروتکل متفاوت تهیه شده‌اند. تصاویر پروتکل اول، تصاویر MR T1-Weighted از دو مغز انسان با برش محوری<sup>۳۷</sup> از اسکنر فیلیپس<sup>۳۸</sup> سه تسلالاً با سایز ماتریس تصاویر  $512 \times 512$  پیکسل می‌باشند. نویز این تصاویر،  $8/2\%$  و شدت غیریکنواختی<sup>۳۹</sup> آنها  $4/5\%$  است.

تصاویر پروتکل دوم، تصاویر MR T1-Weighted با سایز انسان با برش محوری از اسکنر GE 1.5T Signa<sup>۴۰</sup> با سایز ماتریس تصاویر  $256 \times 256$  پیکسل، محدوده میدان<sup>۴۱</sup> برابر  $25\text{ cm}$ ، TR برابر  $400\text{ ms}$  و TE برابر  $25\text{ ms}$  می‌باشند. تصاویر، با درون‌یابی به تصاویر  $512 \times 512$  پیکسل تبدیل شده‌اند تا با سایز ماتریس تصاویر پروتکل اول سازگاری داشته باشند. نویز این تصاویر،  $10/6\%$  و شدت غیریکنواختی آنها  $9/2\%$  است. تصاویر پروتکل اول و دوم جهت ارزیابی روش پیشنهادی برای جداسازی تalamوس به کار گرفته شده‌اند.

تصاویر پروتکل سوم، تصاویر MR T2-Weighted از دو مغز انسان با برش محوری با سایز ماتریس تصاویر  $128 \times 128$  پیکسل، TR برابر ms  $2500$ ، TE برابر ms  $90$ ، ضخامت برابر  $3/3\text{ mm}$  و فاصله  $1/1\text{ mm}$  می‌باشند. تصاویر با درون‌یابی به تصاویر  $512 \times 512$  پیکسل تبدیل شده‌اند تا با ماتریس تصاویر سایر پروتکل‌ها سازگاری داشته باشند. تصاویر پروتکل سوم جهت ارزیابی روش پیشنهادی برای جداسازی هسته قرمز به کار رفته‌اند.

خاکستری، در الگوریتم IIEF (قسمت ۲-۱-۲) به دست آمد. از این رو، با بهره‌گیری از نتایج شناسایی<sup>۳۵</sup> این الگوریتم و انجام مراحل زیر کانتور اولیه مورد نظر حاصل می‌گردد:

- نقشه مرزهای ماده خاکستری بدست آمده در مرحله پنجم الگوریتم IIEF منقبض می‌شود. المان ساختاری انقباض، یک ماتریس  $5 \times 5$  شامل یک‌ها می‌باشد.

۲- نقاط روی مرز با نمونه‌برداری کاهشی [۲۰] به تعداد دلخواه کاهش داده می‌شوند. تعداد نقاط روی کانتور اولیه با انتخاب نرخ نمونه‌برداری کاهشی مشخص می‌شوند. کانتور بدست آمده مطمئناً داخل ساختار قرار دارد بنابراین، عملکرد فرآیند تعقیب و محاسبه نیروهای خارجی بدون وابستگی به تعریف کانتور اولیه توسط کاربر، به درستی انجام می‌پذیرد. پس از ایجاد توزیع انرژی مناسب و کانتور اولیه، مدل کانتور دینامیک اعمال می‌شود که چگونگی آن برای تalamوس و هسته قرمز به تفصیل در مرجع ۲۰ آمده است.

## ۲-۴-۱- اصلاح روش پیشنهادی جهت استخراج هسته قرمز

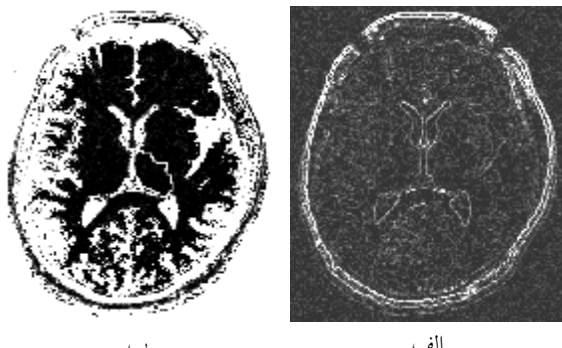
جهت اصلاح روش ایجاد توزیع انرژی، برخی از مراحل الگوریتم شرح داده شده در قسمت ۲-۱-۲، جهت استخراج هسته قرمز تغییر داده شده‌اند.

در مرحله اول، هم‌چنان از روش لبه‌یابی پریویت جهت استخراج توزیع انرژی اولیه استفاده می‌شود. در مرحله دوم نیز نواحی تصویر اصلی با الگوریتم خوش‌یابی FCM با درجه فازی  $1/7$  و تعداد خوش‌های برابر  $6$ ، جداسازی می‌شوند. خوش‌های که شامل هسته قرمز است به طور خودکار، انتخاب می‌شود. در مرحله سوم، خوش‌های انتخابی منقبض می‌شود تا در صورت اتصال ماده خاکستری هسته قرمز با ماده خاکستری هسته سابتنتشیا نایاگرا<sup>۴۲</sup>، ساختارها از هم جدا شوند. المان ساختاری این انقباض یک ماتریس  $3 \times 1$  شامل یک‌ها می‌باشد. در مرحله چهارم، اجزاء هم‌بند در تصویر باینری بدست آمده از مرحله سوم، برچسب‌گذاری می‌شوند. نتیجه با المان ساختاری برابر یک ماتریس  $3 \times 3$

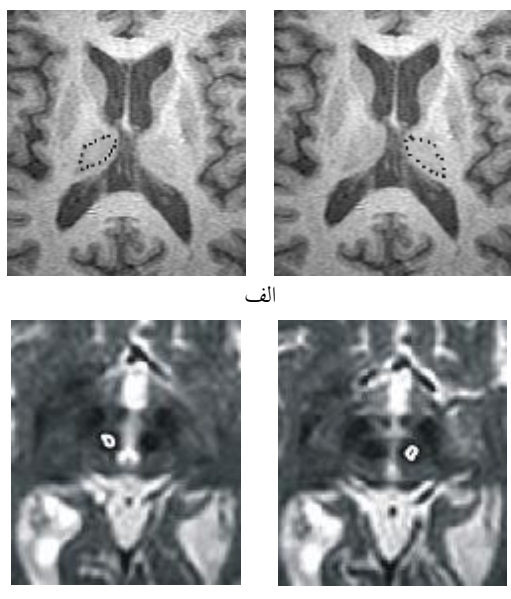
<sup>۳۵</sup> Detection  
<sup>۳۸</sup> Philips

<sup>۳۶</sup> Substantia nigra  
<sup>۳۹</sup> Intensity inhomogeneity

<sup>۳۷</sup> Axial plane  
<sup>۴۰</sup> Field Of View (FOV)



شکل ۲- مقایسه انرژی بدست آمده با روش پریویت (الف) و روش قسمت ۲-۱-۲ (ب)



شکل ۳- کانتورهای اولیه بدست آمده با روش قسمت ۲-۱-۲ جهت جداسازی تalamوس‌ها (الف) و هسته‌های قرمز (ب)

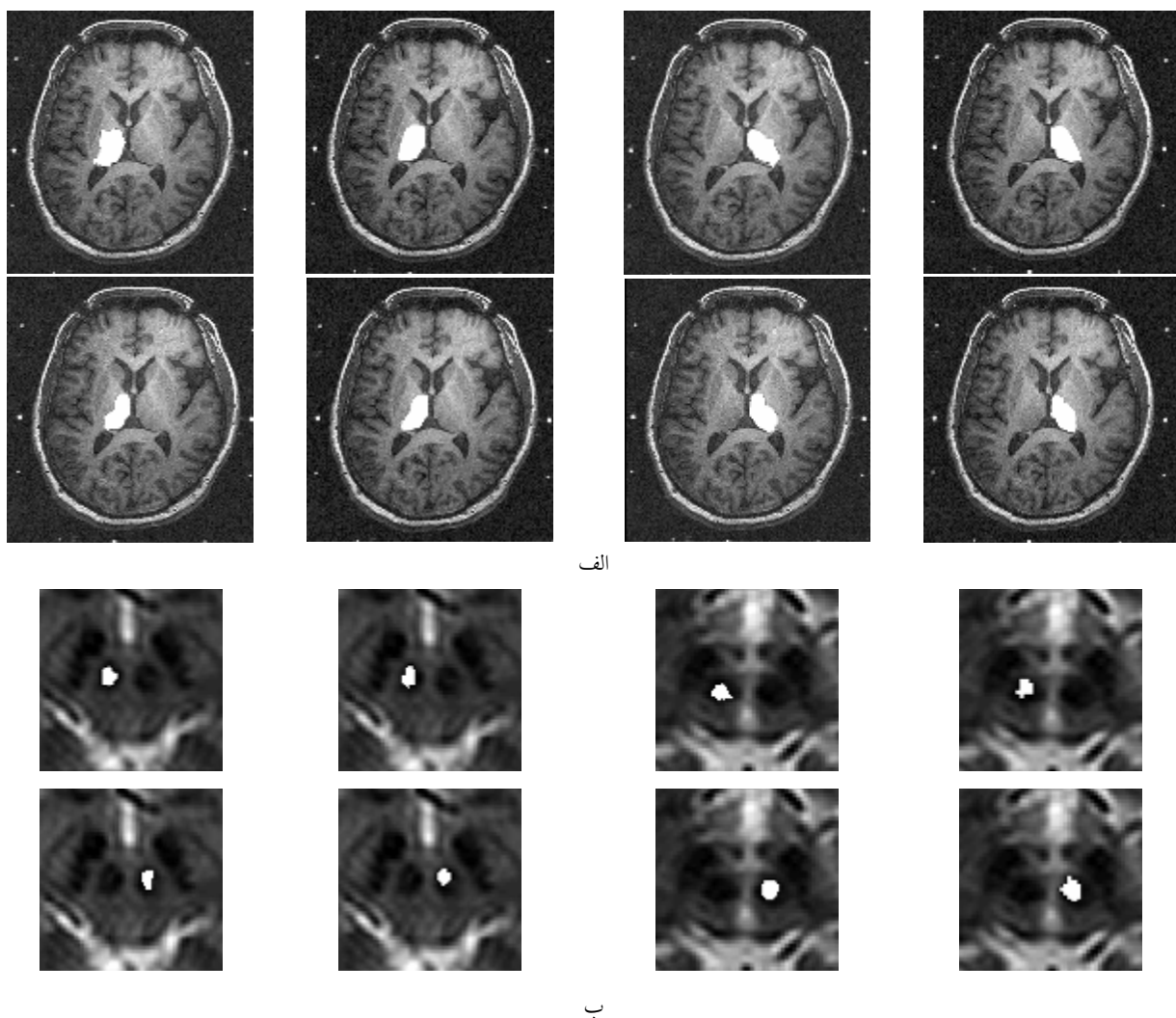
شده در بخش ۲-۱-۳ را برای تalamوس و هسته قرمز راست و چپ نشان می‌دهد. ایجاد روشی جهت تولید کانتور اولیه، مشکل وابستگی نتایج جداسازی مدل‌های کانتور دینامیک به کاربر در تعریف کانتور اولیه را حل می‌کند و علاوه بر آن، کاربرد مدل را سریع‌تر، راحت‌تر و تکرارپذیر می‌سازد. شکل ۴، نتایج اعمال روش پیشنهادی با استفاده از مدل مارکو روی دو لایه مغزی جهت جداسازی تalamوس و هسته قرمز نشان می‌دهد. همچنین، نتایج جداسازی توسط رادیولوژیست خبره نیز قابل مشاهده است. لازم به ذکر است تصاویر شکل ۴-الف از تصاویر پروتکل دوم حاصل شده

### ۳- نتایج

روش‌های پیشنهادی جهت جداسازی ساختارهای خاص مغزی پیاده‌سازی شد و سپس، روی تصاویر واقعی تشید و مغناطیسی جهت جداسازی تalamوس و هسته قرمز اعمال گردید. در این قسمت، نتایج روش‌های ارزیابی و جدول ارزیابی ارائه می‌شود.

همان طور که گفته شد به دلیل کترast پایین و سیگنال به نویز کم تصاویر MR مغزی، روش‌های استاندارد لبه‌یابی جهت ایجاد توزیع انرژی، برای کاربرد این تحقیق مناسب نیستند. از میان روش‌های استاندارد لبه‌یابی، روش استاندارد پریویت جهت ایجاد انرژی تصویر اولیه انتخاب شده است. شکل ۲، توزیع انرژی بدست آمده با روش پریویت (شکل ۲-الف) و الگوریتم پیشنهادی ارائه شده در قسمت ۲-۱-۲ (شکل ۲-ب) را مقایسه می‌کند (شکل‌های ۱-الف و ۱-الف نتایج بدست آمده روی دو تصویر از دو پروتکل متفاوت می‌باشند). همان طور که دیده می‌شود لبه‌های ساختارها در شکل ۲-الف واضح نیستند و تغییرات لازم در شدت روش‌نایی لبه‌ها وجود ندارد. وقتی در فرآیند تعییب، جستجوگر، لبه‌ای در راستای شعاعی پیدا نکند نیروی خارجی صفر قرار داده می‌شود و نیروهای داخلی و میراکتلنده نیز قادر به حرکت کانتور به سمت لبه‌ها نیستند لذا، جداسازی ساختارهای مورد نظر از روی تصاویر مغزی، ایجاد روشی مناسب جهت تولید توزیع انرژی بهینه را لازم می‌نماید. به دلیل وجود تغییرات واضح و مشخص شدت روش‌نایی در لبه‌های ساختارهای مورد نظر در انرژی تصاویر بدست آمده با الگوریتم پیشنهادی، وابستگی مدل به پارامتر  $E_t$  (معرفی شده در ۲-۱-۲) کم می‌شود. از آنجایی که، تalamوس و هسته قرمز ساختارهای ماده خاکستری هستند یافتن نقشه لبه‌های ماده خاکستری در به دست آوردن لبه‌های ساختارها بسیار مؤثر واقع شد. الگوریتم پیشنهادی با استفاده از الگوریتم خوش‌یابی فازی FCM، روش‌های آستانه‌گذاری، برچسب‌گذاری و اپراتورهای شکلی، ویژگی‌های مورد نظر را از تصاویر MR استخراج نموده است.

شکل ۳، کانتورهای اولیه بدست آمده توسط روش معرفی



شکل ۴- ستون های اول و سوم (از سمت راست) نتایج جداسازی هسته های تalamوس (الف) و هسته های قرمز (ب) توسط رادیولوژیست خبره روی دو لایه متفاوت از تصاویر اصلی را نشان می دهد و ستون های دوم و چهارم (از سمت راست) نتایج جداسازی هسته های تalamوس (الف) و هسته های قرمز (ب) توسط روش پیشنهادی را ارائه می دهد.

مقداردهی شوند برای تمامی حالت های مشابه، قابل استفاده می باشد. مقادیر  $w_{ex,i}$  و  $w_{damp,i}$  در کاربردهای جداسازی تalamوس و هسته قرمز به ترتیب برابر  $10 \pm 5$  و  $25 \pm 5$  برای همه رئوس مقداردهی شده اند. مقدار  $\alpha_{max}$  جهت جداسازی تalamوس  $42 \pm 5$  و برای جداسازی هسته قرمز  $25 \pm 5$  قرار داده شده است. این مقدار از روی بیشینه فاصله هر نقطه روی کانتور اولیه که برای تعدادی از تصاویر واقعی تشخیص مغناطیسی به دست آمده بود تا مرزهای ساختار، محاسبه شده است. در فرآیند تعییب بهبود یافته،  $\alpha$  بین صفر و  $\alpha_{max}$  با نمو  $\Delta\alpha$  برابر  $0.5$  تغییر می کند. مقادیر  $w_0$  و  $\lambda$ ، به ترتیب  $-2/5$  و  $7/5$  برای جداسازی تalamوس و هسته قرمز است.

است که دارای نویز و شدت غیریکنواختی بیشتری نسبت به پروتکل اول هستند. همان طور که گفته شد با توجه به مشکلات ذکر شده در جداسازی ساختارهای مغزی از روی تصاویر MR، استخراج ویژگی های مطلوب از روی تصاویر به کمک روش های استاندارد غیرممکن است ولیکن روش پیشنهادی، انرژی تصاویر بدست آمده با روش های استاندارد را به گونه ای بهبود می بخشد که مدل مار قادر به جداسازی ساختارهای دلخواه می گردد.

فرآیند تعییب و تولید انرژی تصاویر با الگوریتم پیشنهادی، وابستگی مدل را به پارامترهای آن کم می کند به علاوه، این پارامترها یک بار که توسط کاربر برای یک کاربرد، به درستی

۹/۲٪، درصد اختلاف برای تalamos راست، ۸/۶۶٪ و برای تalamos چپ، ۸/۲۶٪ است. این مقادیر، نشانگر تأثیر نویز بر درصد اختلاف نتایج جداسازی شده می‌باشد. لازم به ذکر است تغییر ناچیز این مقادیر، پایداری روش پیشنهادی روی تصاویر نویزی را نشان می‌دهد.

به دلیل عبور فیبرهای عصبی سفید رنگ از داخل تalamos که منجر به ناپیوستگی مرزها و ناهمگنی بافت در تصاویر لایه‌های مختلف مغزی می‌شود جداسازی این ساختار، به مراتب دشوارتر از سایر ساختارهای مغز میانی است. از طرف دیگر، نقش این ساختار به جهت تشخیص غیرتهاجمی بیماری‌ها و ارزیابی معالجات، بسیار حیاتی و حائز اهمیت است لذا، ارزیابی‌های بیشتری روی نتایج جداسازی شده این ساختار انجام شده است. روش ارزیابی بعدی مبتنی بر معیار شbahت Tanimoto می‌باشد. این معیار مابین دو مجموعه X و Y به صورت زیر تعریف می‌شود:

$$\frac{n_{X \cap Y}}{n_X + n_Y - n_{X \cap Y}} = \frac{n_{X \cap Y}}{n_{X \cup Y}} \quad (3)$$

به طوری که  $n_X$ ,  $n_Y$ ,  $n_{X \cap Y}$  و  $n_{X \cup Y}$  به ترتیب تعداد المان‌های  $X$ ,  $Y$ ,  $X \cap Y$  و  $X \cup Y$  هستند. به عبارت دیگر، معیار Tanimoto، نسبت تعداد المان‌های مشترک دو مجموعه به تعداد کل المان‌ها است. نتایج ارزیابی شbahت بین نتایج جداسازی شده با معیار Tanimoto در جدول ۳ آورده شده است. از آنجایی که مقادیر شbahت بزرگتر از ۰/۷ معرف همسازی عالی نتایج است، لذا، متوسط معیار شbahت برابر ۰/۸ برای تalamos راست و چپ، نمایانگر همسازی مطلوب بین نتایج جداسازی رادیولوژیست و روش پیشنهادی است.

معیار شbahت بر روی داده‌های با درصد نویز و شدت غیریکنواختی متفاوت، برای مطالعه اثر نویز و شدت غیریکنواختی روی این معیار بررسی شده‌اند. متوسط معیار شbahت بین نتایج جداسازی رادیولوژیست و روش پیشنهادی به ترتیب برای تalamos چپ و راست برای داده‌های با ۸/۲٪ نویز و شدت غیریکنواختی ۴/۵٪، ۴/۴٪ و ۰/۸۳٪ و برای داده‌های با ۱۰/۶٪ نویز و شدت غیریکنواختی ۹/۲٪، ۰/۷۷٪ و ۰/۷۳٪ است. باقی ماندن معیار شbahت در محدوده همسازی عالی با وجود نویز و شدت غیریکنواختی اضافی، نشانگر

همان طور که گفته شد علت تغییر محدوده تغییرات  $\alpha$  از  $\alpha_{\max} - \alpha_{\min}$  به از صفر تا  $\alpha_{\max}$ ، عدم گیر افتادن کانتور در لبه مقابل بود، زیرا با تغییر  $\alpha$  در محدوده اول، جستجو از یک فاصله‌ای در داخل جسم، آغاز و در فاصله‌ای خارج جسم پایان می‌یابد در حالی که، وقتی کانتور اولیه در داخل جسم است نیازی به جستجوی لبه در داخل ساختار نیست و این نحوه جستجو، علاوه بر مشکل آفرینی (قسمت ۱-۱)، سرعت جستجو را نیز پایین می‌آورد.

#### ۴- بحث

جهت ارزیابی میزان شباهت نتایج جداسازی شده توسط رادیولوژیست با روش پیشنهادی، از درصد اختلاف میان نواحی جداسازی شده معیار Tanimoto<sup>۴۱</sup> [۱۷] و خطای میانگین استفاده شده است. در جدول ۱، نتایج درصد اختلاف قسمت‌های جداسازی شده توسط رادیولوژیست با روش پیشنهادی برای ۲۰ هسته قرمز در ۱۰ تصویر واقعی MR از ۵ مغز انسان بررسی می‌شود. متوسط اختلاف نواحی جداسازی شده برای هسته قرمز راست، ۱۱٪ و برای هسته قرمز چپ، ۷٪ است. لازم به ذکر است هسته قرمز بسیار کوچک بوده لذا، هر پیکسل اختلاف مابین نتایج جداسازی شده منجر به تغییر بزرگی در درصد اختلاف می‌شود.

جدول ۲ نیز نتایج درصد اختلاف قسمت‌های جداسازی شده برای ۴۴ تalamos از ۲۲ تصویر واقعی MR از ۶ مغز انسان را نشان می‌دهد. متوسط اختلاف بین نواحی جداسازی شده برای تalamos راست، ۸/۱٪ و برای تalamos چپ، ۹/۵٪ می‌باشد. شایان ذکر است جهت بررسی اختلاف حجم‌ها، خطای فوق ارزیابی شده است و از آنجایی که در محاسبه حجم، خطاهای مثبت و منفی یکدیگر را ختشی می‌کنند درصد اختلاف جبری<sup>۴۲</sup> بررسی شده است.

در این تحقیق، دو دسته داده با درصد نویز و شدت غیریکنواختی‌های متفاوت بررسی شده است. برای تصاویر با ۸/۲٪ نویز و شدت غیریکنواختی ۴/۵٪، درصد اختلاف برای تalamos راست، ۷/۵۲٪ و برای تalamos چپ، ۳/۴٪ می‌باشد. برای تصاویر با ۱۰/۶٪ نویز و شدت غیریکنواختی

<sup>41</sup> Tanimoto

<sup>42</sup> Signed percent difference

جدول ۱- متوسط تعداد پیکسل های نتایج جداسازی هسته قرمز راست و چپ توسط رادیولوژیست و روش پیشنهادی برای تصاویر ۲۰ لایه مغزی  
تهیه شده از ۵ مغز انسان به همراه درصد اختلاف بین دو دسته نتایج جداسازی و میانگین آنها

لایه ها	رادیولوژیست	راست توسط	جاداسازی هسته قرمز	جاداسازی هسته قرمز	جاداسازی هسته قرمز	جاداسازی هسته قرمز
رادیولوژیست	راست با روش پیشنهادی	اختلاف	درصد	جاداسازی هسته قرمز	جاداسازی هسته قرمز	جاداسازی هسته قرمز
میانگین				چپ با روش پیشنهادی	چپ توسط	جاداسازی هسته قرمز
Case 1-S08-09			۶۵	۷۸	۱۹/۷۳	۸۲
Case 2-S10-11			۴۳	۴۳	-۰/۰۸	۵۲
Case 3-S08-09			۵۵	۵۱	-۸/۸۸	۶۹
Case 4-S08-09			۸۵	۹۵	۱۱/۷۶	۵۹
Case 5-S08-09			۳۷	۳۴	-۱۳/۹۸	۵۴
			۱۰/۸۹			۱۰۱
						۲۳/۳۱
						۱/۹۳
						-۱/۲۳
						۱/۷۶
						۴/۸۶
						۶/۶۲

جدول ۲- متوسط تعداد پیکسل های نتایج جداسازی تalamوس راست و چپ توسط رادیولوژیست و روش پیشنهادی برای تصاویر ۲۲ لایه مغزی  
تهیه شده از ۶ مغز انسان به همراه درصد اختلاف بین دو دسته نتایج جداسازی و میانگین آنها

لایه ها	رادیولوژیست	راست توسط	جاداسازی تalamوس	جاداسازی تalamوس چپ با	جاداسازی تalamوس چپ با	درصد
میانگین				روش پیشنهادی	رادیولوژیست	اختلاف
Case1-S10-12		۱۸۰۹	۱۹۱۵	۱۷۵۱	۱۷۲۴	-۲/۶۲
Case2-S11-13		۱۶۶۴	۱۵۰۹	۱۷۴۷	۱۸۲۰	۴/۳۲
			۷/۵۲			۳/۴۷
B01-S36-39		۲۰۰۱	۲۲۵۷	۱۷۹۳	۱۸۱۲	۳/۴۷
B02-S48-51		۲۸۸۵	۲۵۵۲	۲۹۱۹	۲۴۷۴	-۱۳/۷۷
B03-S66-69		۱۵۴۹	۱۷۲۶	۱۶۳۵	۱۴۹۷	-۸/۰۱
B04-S122-125		۲۰۲۸	۲۰۷۷	۲۱۰۴	۲۲۶۲	۷/۷۷
			۸/۶۶			۸/۲۶
میانگین کل			۸/۰۹			۵/۸۶

به طوری که  $d_i$ ، نشانگر فاصله اقلیدسی جبری مابین نقاط روی بردار شعاعی  $N$  ام مقاطعه با مرزهای رادیولوژیست و روش خودکار بوده و  $N$ ، تعداد بردارهای شعاعی (نقاط روی مرز روش پیشنهادی) است. بردار شعاعی در ضمیمه ۲ تعریف شده است.

با وجود مشکلاتی که در جداسازی تalamوس (در مقایسه با سایر ساختارهای مغزی) وجود دارد، از جمله حضور فیبرهای میلین سفید رنگ در میان بافت ماده خاکستری تalamوس که قبلاً ذکر شد، دقت نتایج این تحقیق نزدیک به

پایداری روش نسبت به نویز و شدت غیریکنواختی است.

برای مقایسه نتایج جداسازی ارائه شده در این مقاله با نتایج سایر مقالات چاپ شده [۲۷،۲۴]، خطای متوسط جبری <sup>۴۳</sup> و غیرجبری <sup>۴۴</sup> محاسبه شده است. در مرجع ۲۴، مرزهای ساختارهای جداسازی شده توسط رادیولوژیست و روش خودکار با محاسبه روابط ۴ و ۵ مقایسه شده اند [۲۶،۲۵]:

$$\sum_i d_i / N : \text{متوسط جبری} \quad (4)$$

$$\sum_i ||d_i|| / N : \text{متوسط غیرجبری} \quad (5)$$

<sup>43</sup> Signed mean error

<sup>44</sup> Unsigned mean error

جدول ۳- شباهت بین نتایج جداسازی شده توسط رادیولوژیست و روش پیشنهادی برای تصاویر ۲۲ لایه مغزی شامل تalamوس راست و چپ تهیه شده از ۶ مفر انسان

تalamوس چپ	تalamوس راست	روش پیشنهادی	رادیولوژیست و جداسازی توسط	لایه‌ها	متوجه شباخت بین	حداکثر شباهت بین	جداگری توسط	رادیولوژیست و جداسازی توسط	لایه‌ها	متوجه شباخت بین	حداکثر شباهت بین
Case1-S10-12	Case1-S10-12	روش پیشنهادی	رادیولوژیست و جداسازی توسط	لایه‌ها	جداگری توسط	جداگری توسط	رادیولوژیست و جداسازی توسط	لایه‌ها	جداگری توسط	جداگری توسط	جداگری توسط
Case2-S11-13	Case2-S11-13	میانگین	رادیولوژیست و جداسازی توسط	لایه‌ها	میانگین	میانگین	رادیولوژیست و جداسازی توسط	لایه‌ها	میانگین	میانگین	میانگین
B01-S36-39	B01-S36-39	میانگین	رادیولوژیست و جداسازی توسط	لایه‌ها	میانگین	میانگین	رادیولوژیست و جداسازی توسط	لایه‌ها	میانگین	میانگین	میانگین
B02-S48-51	B02-S48-51	میانگین	رادیولوژیست و جداسازی توسط	لایه‌ها	میانگین	میانگین	رادیولوژیست و جداسازی توسط	لایه‌ها	میانگین	میانگین	میانگین
B03-S66-69	B03-S66-69	میانگین	رادیولوژیست و جداسازی توسط	لایه‌ها	میانگین	میانگین	رادیولوژیست و جداسازی توسط	لایه‌ها	میانگین	میانگین	میانگین
B04-S122-125	B04-S122-125	میانگین	رادیولوژیست و جداسازی توسط	لایه‌ها	میانگین	میانگین	رادیولوژیست و جداسازی توسط	لایه‌ها	میانگین	میانگین	میانگین
میانگین کل	میانگین کل	میانگین کل	رادیولوژیست و جداسازی توسط	لایه‌ها	میانگین کل	میانگین کل	رادیولوژیست و جداسازی توسط	لایه‌ها	میانگین کل	میانگین کل	میانگین کل

مرزها یا خطای متوسط غیرجبری (رابطه ۵)،  $0/8 \pm 0/1$  پیکسل معرفی شده است. با تبدیل خطای روش پیشنهادی به ماتریس  $256 \times 256$  پیکسلی تصاویر آنها، میانگین خطای متوسط غیرجبری<sup>۷</sup> برای تalamوس راست و چپ در همه لایه‌های مغزی شامل تalamوس به ترتیب  $0/88 \pm 0/24$  و  $0/88 \pm 0/24$  و  $0/14$  خواهد شد.

در مراجع اشاره شده، گزارشی در مورد درصد نویز یا شدت غیریکنواختی تصاویرشان ارائه نشده است. در این تحقیق، نتایج جداسازی روش پیشنهادی برای درصد نویز و شدت غیریکنواختی متفاوت بررسی شده است. برای تصاویر با  $0/82$ % نویز و شدت غیریکنواختی  $4/5$ ٪، خطای متوسط غیرجبری و جبری به ترتیب  $2/6 \pm 0/44$  و  $1/07 \pm 0/45$  برای تalamوس چپ؛ و  $2/25 \pm 0/11$  و  $0/71 \pm 0/11$ - برای تalamوس راست است.

برای تصاویر با  $10/6$ % نویز و شدت غیریکنواختی  $9/2$ ٪ خطای متوسط غیرجبری و جبری به ترتیب  $0/54 \pm 0/054$  و  $2/86 \pm 0/054$ - برای تalamوس چپ و  $4/15 \pm 0/037$  و  $0/07 \pm 0/031$ - برای تalamوس راست می‌باشد.

زمان شناسایی و جداسازی با استفاده از نرم‌افزار MATLAB

نتایج ارائه شده در مرجع ۲۴ است. نتایج محاسبه خطای متوسط جبری در جدول ۴ آورده شده است. از آنجایی که، ماتریس تصاویر مورد استفاده در این تحقیق  $512 \times 512$  پیکسل و تصاویر [۲۴]  $300 \times 300$  پیکسل بوده است لذا، جهت مقایسه نتایج باید خطای ارائه شده در جدول ۴ تقریباً تقسیم بر ۳ شود. از این رو، در روش پیشنهادی خطای متوسط غیرجبری و جبری جداسازی تalamوس به ترتیب  $0/93 \pm 0/25$  و  $0/60 \pm 0/19$ - برای تalamوس چپ؛ و  $0/32 \pm 0/24$  و  $0/17 \pm 0/13$ - برای تalamوس راست است. پیتیوت و همکاران خطای متوسط غیرجبری و جبری را برای جداسازی هیپوکمپوس<sup>۴۵</sup> به ترتیب  $1/1 \pm 0/7$  و  $0/5 \pm 0/5$ - برای تalamos را به علت به دام افتادن محاسبه کردند [۲۴]. آنها مقدار خطای را به علت به دام افتادن نرم‌افزار در لبه‌های ناخواسته<sup>۴۶</sup>، اکثراً بالاتر از مقدار گزارش شده به دست آورده‌اند. روش پیشنهادی با معرفی انرژی تصویر بهبود یافته این مشکل را برطرف نموده است [۲۴]. دوتا و همکاران، تعدادی از ساختارهای نروآناتومیکی را فقط در یک لایه مغزی جداسازی کردند [۲۷]. در مرجع ۲۷ خطای جداسازی هر ساختار به طور جداگانه گزارش نشده است ولی میانگین خطای موقعیت مرزها (خطای موقعیت

<sup>45</sup> Hippocampus

<sup>46</sup> Decoy edges

<sup>47</sup> Averaged mean error

جدول ۴ - متوسط جبری و غیرجبری اختلاف مزهای نتایج جداسازی تalamوس راست و چپ توسط رادیولوژیست و روش پیشنهادی (به پیکسل) برای تصاویر ۲۲ لایه مغزی تهیه شده از ۶ مغز انسان

لایه‌ها	متodoس جبری	متodoس غیر جبری	لایه‌ها	متodoس جبری	متodoس راست
تalamوس چپ					
۱/۹۲	-۰/۰۶	Case1-SL10-12	۲/۱۷	۰/۶۲	Case1-SL10-12
۲/۵۸	-۰/۰۸۲	Case2-SL11-13	۳/۰۴	-۱/۰۵۲	Case2-SL11-13
۲/۲۵ ± ۰/۳۳	-۰/۰۷۱ ± ۰/۱۱	میانگین ± انحراف معیار	۲/۶۰ ± ۰/۰۴۴	-۰/۰۴۵ ± ۱/۰۷	میانگین ± انحراف معیار
۴/۲۲	۰/۰۶۷	B01-S36-39	۲/۰۸۴	۰/۰۰۲	B01-S36-39
۴/۷۵	۰/۰۵۴	B02-S48-51	۳/۰۸۱	-۰/۰۵۲	B02-S48-51
۳/۵۹	-۱	B03-S66-69	۲/۰۱۷	۰/۰۶۶	B03-S66-69
۴/۰۳	-۱/۱۱	B04-S122-125	۲/۰۶۴	-۰/۰۴۴	B04-S122-125
۴/۱۵ ± ۰/۰۳۷	-۰/۰۲۳ ± ۰/۰۵۲	میانگین ± انحراف معیار	۲/۰۸۶ ± ۰/۰۵۴	-۰/۰۰۷ ± ۰/۰۳۱	میانگین ± انحراف معیار
۳/۵۱ ± ۰/۰۹۷	-۰/۰۳۸ ± ۰/۰۷۲	میانگین ± انحراف معیار ۵۱۲ × ۵۱۲	۲/۰۷۸ ± ۰/۰۵۶	-۰/۰۲۰ ± ۰/۰۷۵	میانگین ± انحراف معیار ۵۱۲ × ۵۱۲
۱/۱۷ ± ۰/۰۲۲	-۰/۰۱۳ ± ۰/۰۲۴	میانگین ± انحراف معیار ۳۰۰ × ۳۰۰	۰/۰۹۳ ± ۰/۰۱۹	-۰/۰۰۶ ± ۰/۰۲۵	میانگین ± انحراف معیار ۳۰۰ × ۳۰۰
۰/۰۸ ± ۰/۰۲۴	۰/۱ ± ۰/۰۱۸	میانگین ± انحراف معیار ۲۵۶ × ۲۵۶	۰/۰۶۹ ± ۰/۰۱۴	-۰/۰۰۵ ± ۰/۰۱۹	میانگین ± انحراف معیار ۲۵۶ × ۲۵۶

چنین ساختارهایی حل شد. به علاوه، با ایجاد کانتور اولیه خودکار، وابستگی نتایج جداسازی به کاربر در تهیه کانتور اولیه حذف شده است. مزیت خودکارسازی بر جداسازی دستی و نیمه‌اتوماتیک مشتمل بر کاهش هزینه، افزایش سرعت، راحتی، تکرارپذیری و استقلال از عملکرد کاربر است.

روش‌های پیشنهادی پیاده‌سازی شده و بر روی تصاویر واقعی از مغز انسان جهت جداسازی تalamوس و هسته قرمز اعمال شده‌اند. جهت ارزیابی، نتایج جداسازی رادیولوژیست‌ها با روش پیشنهادی مقایسه شده است که نتایج ارزیابی مطلوب بوده‌اند.

متوسط اختلاف نواحی جداسازی شده توسط رادیولوژیست خبره و روش پیشنهادی برای ۲۰ هسته قرمز در ۱۰ تصویر واقعی MR از ۵ مغز انسان برای هسته قرمز راست، ۱۱٪ و برای هسته قرمز چپ، ۷٪ است. لازم به ذکر است هسته قرمز بسیار کوچک بوده و هر پیکسل اختلاف مابین نتایج جداسازی شده منجر به تغییر بزرگی در درصد اختلاف

با Pentium® 4 CPU 2 GHz حدود ۲۰ دقیقه است.

جداسازی نهایی حدود یک دقیقه و خوش‌یابی FCM روی تصاویر ۵۱۲ × ۵۱۲ حدود ۱۹ دقیقه به طول می‌انجامد. لازم به ذکر است پیاده‌سازی روش پیشنهادی از نظر سرعت، بهینه نشده است.

## ۵- نتیجه‌گیری

روش جدید خودکاری مبتنی بر ترکیب خوش‌یابی فازی و مدل کانتور دینامیک جهت جداسازی خودکار تalamوس‌ها و دیگر ساختارهای مغز میانی از روی تصاویر MR مغزی طراحی و ارزیابی شده است. در طراحی مدل کانتور دینامیک گستته، مدل هندسی معرفی شده در مرجع ۱۵ و بهبود یافته در مرجع ۱۲ مبنا قرار گرفته است ولی پیاده‌سازی این روش‌ها، قادر به جداسازی ساختارهایی مانند تalamوس نبود، لذا با ایجاد تغییراتی در مدل و طراحی روش‌های جدید و دقیق‌تری برای تولید انژری خارجی، مشکلات جداسازی

می‌شود.

### ضمیمه الف

**چرا روش‌های خوش‌یابی فازی و مدل‌های دینامیک مرسوم قادر به جداسازی ساختارهای خاصی مانند تalamوس نیستند؟**

روش‌های معرفتی نظری خوش‌یابی فازی و مدل‌های دینامیک مرسوم [۱۵، ۱۲] پیاده‌سازی گردید ولی قادر به جداسازی ساختارهایی مانند تalamوس از روی تصاویر MR نبودند.

مشکلات این روش‌ها در این قسمت توضیح داده می‌شود. روش خوش‌یابی فازی FCM حتی برای جداسازی تقریبی یا به عبارتی، تعیین حول و حوش ساختارهایی مانند تalamوس به تنها‌یابی قابل اعمال نیست. صحت مطلب فوق با بررسی نتایج آزمایشاتی که در ادامه توضیح داده می‌شوند، روش می‌گردد. روش خوش‌یابی فازی با درجه فازی (m) برابر ۱/۷ می‌گردد. روش خوش‌یابی فازی با درجه فازی (n) ۴، ۵، ۶ و ۷ روی تعدادی تصاویر MR مغزی اعمال شدند. نتیجه بر روی یک لایه مغزی در چهار ردیف در شکل الف-۱ نشان داده شده است، به طوری که در هر ردیف، تصویر سمت چپ، نمای نزدیک تصویر سمت راست است.

خوش‌یابی فازی روشی شناخته شده و در بسیاری از کاربردها مناسب است ولی برای جداسازی ساختارهای خاص مغزی مثل تalamوس به تنها‌یابی کفايت نمی‌کند. دلیل این امر به خاطر شرایط این ساختار و نحوه تشکیل تصاویر تشدید مغناطیسی است. تalamوس از ماده خاکستری تشکیل شده است ولی ساختارهای دیگری هم در اطراف تalamos دارای ماده خاکستری هستند لذا، عدم تمایز بین این دو ماده خاکستری با خوش‌یابی فازی و هم‌چنین حضور فیبرهای میلین<sup>۴۸</sup> سفید رنگ در میان بافت ماده خاکستری تalamos، منجر به عدم قرارگیری ماده خاکستری ساختار مورد نظر در یک خوشی یا کلاس می‌شود. علاوه بر این، مایع درون مغزی و ماده سفید<sup>۴۹</sup> در اطراف تalamos وجود دارند که در تصویرنگاری جزء حجم‌هایی که شامل مواد خاکستری، سفید و مایع مغزی-نخاعی<sup>۵۰</sup> هستند، شدت روشناهی شبیه ماده خاکستری تولید می‌کنند (PVAE<sup>۵۱</sup>). شکل الف-۱، به خوبی پیوستگی ماده خاکستری تalamos را به مواد خاکستری

از آنجایی که جداسازی تalamos به مراتب دشوارتر از سایر ساختارهای مغز میانی است (به دلیل مشکلاتی از قبیل ناپیوستگی مرزها و ناهمگنی بافت در تصاویر لایه‌های مختلف مغزی) و هم‌چنین به دلیل اهمیت نقش این ساختار بسیار حیاتی از جهت تشخیص غیرتهاجمی بیماری‌ها و ارزیابی معالجات، ارزیابی‌های بیشتری روی نتایج جداسازی شده این ساختار انجام شده است.

متوسط اختلاف بین نواحی جداسازی شده توسط رادیولوژیست خبره و روش پیشنهادی برای ۴۴ تalamos از ۲۲ تصویر MR واقعی از ۶ مغز انسان برای تalamos راست، ۱/۸٪ و برای تalamos چپ، ۰/۵٪ است. روش ارزیابی دیگری که مورد بررسی قرار گرفته مبتنی بر معیار شباهت تائیمتو است. متوسط معیار شباهت برای تalamos راست و چپ برابر ۰/۸ است و از آنجایی که مقادیر شباهت بزرگتر از ۰/۷ معرف همسازی عالی نتایج است لذا، معیار شباهت بدست آمده نمایانگر همسازی مطلوب بین نتایج جداسازی رادیولوژیست و روش پیشنهادی است.

به منظور مقایسه نتایج جداسازی ارائه شده در این مقاله با نتایج سایر مقالات چاپ شده [۲۷، ۲۴]، خطای متوسط جبری و غیرجبری محاسبه شده است. با وجود مشکلاتی که در جداسازی تalamos (در مقایسه با سایر ساختارهای مغزی) وجود دارد دقت نتایج این تحقیق با نتایج ارائه شده در مراجع ۲۴ و ۲۷ سازگار است.

معیارهای ارزیابی نتایج جداسازی روی داده‌های با درصد نویز و شدت غیریکنواختی متفاوت جهت بررسی اثر نویز و شدت غیریکنواختی روی روش پیشنهادی بررسی شده‌اند که تغییر ناچیز نتایج معیارها نشانگر پایداری روش نسبت به نویز و شدت غیریکنواختی است.

### سپاسگزاری

از دکتر اریک اسپیکلر رادیولوژیست مؤسسه پزشکی فورد آمریکا برای جداسازی هسته قرمز تشكرو و قدردانی می‌شود.

<sup>48</sup> Myelin

<sup>49</sup> White Matter (WM)

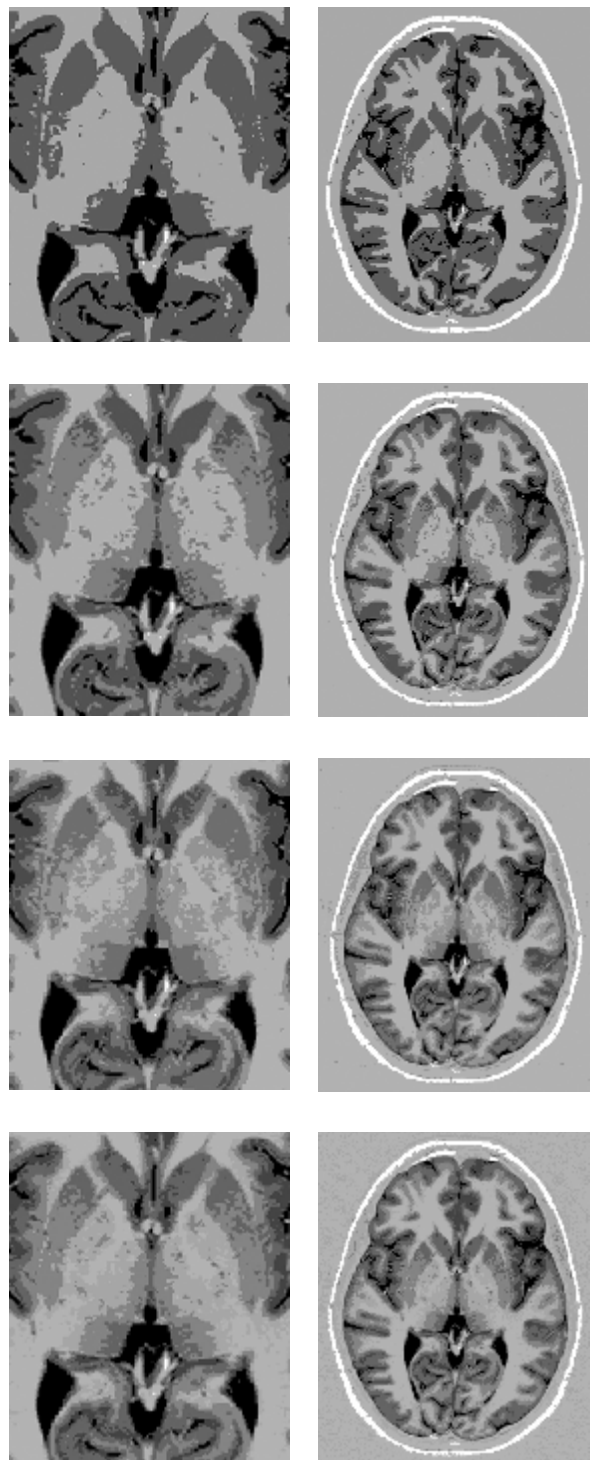
<sup>50</sup> Cerebro-Spinal Fluid (CSF)

<sup>51</sup> Partial volume averaging effect

ساختار مورد نظر با روش خوش‌بندی فازی به تنهایی امکان‌پذیر نخواهد بود. این فرآیند پردازشی می‌تواند ترکیب خوش‌های حاوی ماده خاکستری ساختار مورد نظر، انقباض<sup>۵۲</sup> جهت جداسازی ساختارهای مجاور و انبساط<sup>۵۳</sup> برای ایجاد نقشه مناسب‌تری از ساختار یا جهت ایجاد پیوستگی بین تکه‌های ماده خاکستری یک ساختار باشد لذا، در این تحقیق از خوش‌بندی فازی به همراه فرآیندهای پردازشی برای شروع کار جداسازی (تعیین حول و حوش تalamوس) استفاده شده و سپس با استفاده از کانتورهای دینامیک مرز تalamوس، آن طور که مورد نظر پژوهشکان است (جداسازی دقیق)، مشخص گردیده است.

سه مشکل منجر به عدم جداسازی ساختارهایی چون تalamوس توسط روش‌های مرسوم کانتورهای دینامیک (از جمله روش قانعی و همکاران [۱۲]) می‌شود. برای حل این مشکلات، روش کانتور دینامیک بهبود یافته برای جداسازی ساختارهای خاص از روی تصاویر MR در این مقاله ارائه شده است.

ولین مشکل، انرژی مورد نیاز جهت استخراج ویژگی‌های تصویر از جمله لبه برای محاسبه نیروی خارجی است که عمده‌ترین عامل حرکت کانتور به سمت لبه‌های ساختار به شمار می‌رود. همان طور که در شکل ۱-الف دیده می‌شود انرژی بدست آمده با روش‌های استاندارد مثلاً روش پریویت<sup>۵۴</sup> [۱۹]، به دلیل کترast و سیگنال به نویز<sup>۵۵</sup> کم تصاویر MR قادر به استخراج ویژگی‌های مطلوب مثلاً لبه‌ها نیست، در نتیجه، نیروی خارجی به درستی محاسبه نشده، نهایتاً کانتور حرکت صحیح به سمت لبه‌ها را نخواهد داشت و ساختار مورد نظر جداسازی نمی‌شود. در روش ارائه شده در مرجع ۱۲ نیز روش‌های استاندارد برای تولید انرژی، بکار گرفته شده است. در اینجا با معرفی روشی جدید جهت ایجاد انرژی مناسب و استخراج ویژگی‌های مطلوب، مشکل فوق حل شده است. مشکل دوم، نحوه ایجاد کانتور اولیه است. در اکثر روش‌های مرسوم کانتورهای دینامیک و روش ارائه شده در مرجع ۱۲، تولید کانتور اولیه به صورت نیمه خودکار بوده و در نتیجه، نتایج جداسازی به کاربر وابسته



شکل الف-۱-نتیجه خوش‌بندی فازی (FCM) با درجه فازی (m) برابر ۱/۷ و تعداد خوش‌های (n) برابر ۴، ۵ و ۷ به ترتیب در ردیف‌های ۱ تا ۴ نمایش داده شده‌اند به طوری که در هر ردیف تصویر سمت چپ نمای نزدیک تصویر سمت راست است.

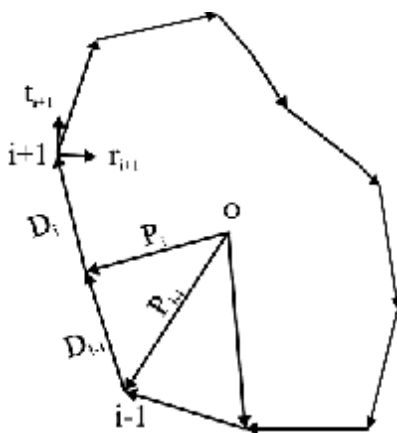
اطرافش و عدم قرارگیری تalamos در یک خوش‌ه را تحت شرایط متفاوت تعداد خوش‌ها نشان می‌دهد از این رو، بدون انجام یک فرآیند پردازشی روی خوش‌بندی فازی، جداسازی

<sup>۵۲</sup>Erosion

<sup>۵۳</sup>Dilation

<sup>۵۴</sup>Prewitt

<sup>۵۵</sup>Signal to Noise Ratio (SNR)



شکل ب-۱- مدل از مجموعه رئوس، نه تشکیل شده است که لبهای,  $D_i$  به هم وصل شده‌اند. حرکت این رئوس تحت نیروهای تعريف شده باعث تغییر شکل خواهد شد. برای هر رأس  $i$  که با بردار  $P_i$  مشخص می‌شود یک بردار شعاعی  $r_i$  و یک بردار مماسی  $t_i$  تعريف شده است.

نیروی داخلی از کانولوشن یک دنباله از کمیات اسکالر ( $c_i, r_i$ ) با یک فیلتر ناپیوسته مناسب مانند  $\left\{ \dots, 0, 0, -\frac{1}{2}, 1, -\frac{1}{2}, 0, 0, \dots \right\}$ , برای حذف مقادیر ثابت از این دنباله، به دست می‌آید:

$$(b-3) \quad f_{in,i} = (c_i \otimes k_i) r_i$$

نیروی خارجی سعی در حرکت کانتور به سمت حداقل محلی انرژی تصویر یا لبه‌ها دارد. نیروی خارجی در هر رأس،  $f_{ex,i}$ ، از روی داده‌های تصویری به دست می‌آید و برای محاسبه آن از رابطه ۹ استفاده می‌شود:

$$(b-4) \quad f_{ex,i} = (f_{im}(x_i, y_i).r_i)r_i$$

به طوری که  $(x_i, y_i)$  موقعیت رأس  $i$  و  $f_{im}(\cdot)$  حوزه نیرویی است که توسط گرادیان توزیع انرژی بر روی تصویر به وجود می‌آید.

نیروی میراکننده برای هر رأس،  $f_{damp,i}$ ، باعث همگرایی سریع‌تر مدل می‌شود و مناسب با سرعت حرکت رأس است. برای هر رأس بردارهای جابجایی،  $P_i$ ، سرعت،  $v_i$ ، و شتاب،  $a_i$ ، در نظر گرفته می‌شود که از معادلات حرکت ذره جهت محاسبه آنها در هر مرحله از تغییر شکل کانتور استفاده می‌گردد.

تغییر شکل کانتور در اثر حرکت رأس‌های آن و تحت تأثیر  $a_i$ ، در نظر گرفته می‌شود که از معادلات حرکت ذره

است. خودکارسازی روش تولید کانتور اولیه، علاوه بر برطرف ساختن این وابستگی، راحتی، سادگی، سرعت و قابلیت تکرارپذیری را به ارمغان می‌آورد. مشکل سوم، نحوه جستجوی لبه در روش‌های ارائه شده قبلی [۱۲] است. با شروع جستجوی لبه از داخل ساختار تا خارج آن، امکان گیر افتادن در لبه مقابل لبه مورد نظر وجود دارد که در این صورت نیز ساختار مورد نظر جداسازی نمی‌شود. روش جستجوی لبه ارائه شده در این تحقیق، علاوه بر حل مشکل ذکر شده، وابستگی مدل‌های دینامیک مرسوم را نیز به پارامترهای آن کاهش می‌دهد.

## ضمیمه ب

### مدل کانتور دینامیک پایه

ساختار هندسی مدل (شکل ب-۱) و نیروها، در این قسمت شرح داده شده است. ساختار هندسی مدل از یک کانتور یا یک چندضلعی تشکیل شده است که رئوس آن توسط اضلاع یا لبه‌ها به هم وصل شده‌اند. موقعیت هر رأس با بردار  $P_i$ ، و ضلعی که بین رئوس  $i$  و  $i+1$  قرار دارد با بردار  $D_i$  نشان داده می‌شود.  $d_i$  بردار یکه در جهت  $D_i$  است ( $d_i = D_i / \|D_i\|$ ). بردار یکه مماس بر هر رأس  $i$ ، بردار  $t_i$  می‌باشد که به صورت زیر تعريف می‌شود:

$$(b-1) \quad t_i = \frac{d_i + d_{i-1}}{\|d_i + d_{i-1}\|}$$

بردار شعاعی،  $r_i$ ، عمود بر بردار مماس بوده و با دوران آن به اندازه  $90^\circ$  در جهت عقربه‌های ساعت به دست می‌آید. هر رأس در راستای بردار شعاعی حرکت می‌کند.

فرآیند تغییر شکل از یک کانتور اولیه آغاز می‌شود. رئوس، تحت تأثیر مجموع وزنی نیروهای داخلی<sup>۵۶</sup>، خارجی<sup>۵۷</sup> و نیروی میراکننده<sup>۵۸</sup> حرکت می‌کنند.

نیروی داخلی،  $f_{in,i}$ ، به منظور صاف کردن و هموار کردن شکل ظاهری کانتور است و برای هر رأس در ارتباط با خمیدگی کانتور در آن قسمت تعريف می‌شود. خمیدگی هر رأس، تفاضل جهت‌های (بردارهای یکه) دو ضلع متقاطع در آن رأس در نظر گرفته می‌شود:

$$(b-2) \quad c_i = d_i - d_{i-1}$$

- [10] Sethian JA; Level Set Methods and Fast Marching Methods (2ed); Cambridge, UK, Cambridge Univ Press; 1999.
- [11] Davatzikos C, Prine JL; Brain image registration based on curve mapping; Biomed Imag Los Alamitos CA USA, Proc IEEE Workshop 1994: 245-254.
- [12] Ghanei A, Soltanian Zadeh H, Windham JP; Segmentation of the hippocampus from brain MRI using deformable contours; Computerized Med Imag and Graphics 1998; 22: 203-216.
- [13] Ghanei A, Soltanian Zadeh H, Windham JP; A deformable model for hippocampus segmentation: Improvements and extension to 3D; Computer in Biology and Medicine 1998; 28: 239-258.
- [14] Shen D, Moffat S, Resnick SM, Davatzikos C; Measuring size and shape of the hippocampus in MR images using a deformable shape model; Neuroimag in Press.
- [15] Lobregt S, Viergever MA; A discrete dynamic contour model; Med Imag, IEEE Trans 1995; 14: 12-24.
- [16] Faugeras O; Three dimensional computer vision: A Geometric Viewpoint; Cambridge MA, MIT Press; 1993.
- [17] Teodiris S, Kouroumbas K; Pattern Recognition; Academic Press; 1998.
- [18] Jain AK, Duin RPW, Mao J; Statistical pattern recognition: A review; Pat Ana & Mach Intell, IEEE Trans 2000; 22(1): 4-37.
- [19] Parker JR; Algorithms for Image Processing and Computer Vision; John Wiley & Sons Inc, New York; 1997: 23-29.

[۲۰] امینی لادن؛ تحلیل ساختارهای خاص مغزی از رؤی MRI تصاویر؛ پایاننامه کارشناسی ارشد؛ دانشگاه تهران

.۱۳۸۱

- [21] Barra V, Boire JY; Tissue segmentation on MR images by a possibilistic clustering on a 3D wavelet representation; J Magn Reson Imag 2000; 11: 267-278.
- [22] Krishnapuram R, Keller J; The possibilistic c-means algorithm: Insights and recommendations; Fuzzy Syst, IEEE Trans 1996; 4: 385-393.
- [23] Gonzalez RC, Woods RE; Digital Image Processing; Addison-Wesley Publishing Company; 1992.
- [24] Pitiot A, Toga AW, Thompson PM; Adaptive elastic segmentation of brain MRI via shape-model-guided evolutionary programming; Med Imag, IEEE Trans 2002; 21: 910-923.
- [25] Chalana V, Kim Y; A methodology for evaluation of boundary detection algorithms on medical images; Med Imag, IEEE Trans 1997; 16: 642-652.
- [26] Brejl M, Sonka M; Object localization and border detection criteria design in edge-based image segmentation: Automated learning from examples; Med Imag, IEEE Trans 2000; 19: 973-985.
- [27] Duta N, Sonka M; Segmentation and interpretation of MR brain images: An improved active shape model; Med Imag, IEEE Trans 1998; 17: 1049-1062.

laden amini در سال ۱۳۵۶ در تهران متولد شد.  
مدارک کارشناسی و کارشناسی ارشد را به ترتیب  
در سال‌های ۱۳۷۸ و ۱۳۸۱ از دانشگاه‌های شهید  
بهشتی و تهران با رتبه اول دریافت کرد. او هم



جهت محاسبه آنها در هر مرحله از تغییر شکل کانتور استفاده می‌گردد.

تغییر شکل کانتور در اثر حرکت رأس‌های آن و تحت تأثیر نیروهای وارد بر آن انجام می‌شود. نیروی کل وارد بر هر رأس، مجموع وزنی نیروهای داخلی، خارجی و میراکنده می‌باشد:

$$f_i = w_{ex,i} f_{ex,i} + w_{in} f_{in,i} + w_{damp} f_{damp,i} \quad (5)$$

افزایش وزن نیروهای خارجی،  $w_{ex}$ ، باعث می‌شود تا مدل به طور دقیق‌تر، جنبه‌ها و داده‌های تصویری را دنبال کند. در مقابل تأکید روی نیروهای داخلی و افزایش نسبی  $w_{in}$  باعث می‌گردد که کانتور، هموارتر و صاف‌تر شده و داده‌های تصویری را به صورت کلی تری دنبال نماید.

کانتور به صورت مرحله‌ای به سمت لبه‌ها حرکت می‌کند و در هر مرحله، یک نمونه‌برداری مجدد روی رئوس جهت جلوگیری از تغییرات زیاد رزوشن که همان فاصله بین هر دو رأس متوالی است جهت اضافه کردن یا کم کردن رئوس، انجام می‌گیرد.

## مراجع

- [1] Tamraz JC, Comair YG; Atlas of Regional Anatomy of the Brain using MRI with Functional Correlations; Springer-Verlag, Berlin Heidelberg; 2000.
- [2] Barra V, Boire J; Automatic segmentation of subcortical brain structures in MR images using information fusion; Med Imag IEEE Trans 2001; 20: 549-558.
- [3] Hendelman WJ; Atlas of Functional Neuroanatomy; CRC Press LLC; 2000.
- [4] Amini L, Soltanian-Zadeh H, Locas C; Segmentation of specific brain structures from MRI; Proc of the Int Conf on Diag Imag and Anal; Shanghai, China, August 2002: 113-118.
- [5] Sonka M, Tadikonda SK and Collins L; Knowledge-based interpretation of MR brain images; Med Imag IEEE Trans 1996; 15: 443-452.
- [6] Xue JH, Ruan S, Morehi B, Revenu M, Bloyet D, Philips W; Fuzzy modeling of knowledge for MRI brain structure segmentation; Med Imag IEEE Trans 2000; 1: 617-620.
- [7] Saha PK, Udupa JK; Optimum image thresholding via class uncertainty and region homogeneity; Pattern Analysis & Machine Intelligence, IEEE Trans 2001; 23: 689-706.
- [8] Kass M, Witkin A, Terzopoulos D; Snakes: Active contour models; Int Comput Vision 1988; 1: 321-331.
- [9] McInerney T, Terzopoulos D; Deformable models in medical image analysis: A survey; Med Image Anal, IEEE Trans 1996; 1: 91-108.

پژوهشکده‌های سیستم‌های هوشمند و علوم شناختی مرکز تحقیقات فیزیک نظری و ریاضیات است. دکتر لوکس از سال ۱۳۷۶ تا ۱۳۷۲ مدیریت پژوهشکده سیستم‌های هوشمند و از سال ۱۳۶۵ تا ۱۳۶۷ مدیریت گروه مهندسی برق و کامپیوتر دانشکده فنی دانشگاه تهران را به عنده داشته است. در تابستان سال‌های ۱۳۶۸ و ۱۳۶۹ دانشیار مهمان دانشگاه تورونتو، کانادا و در سال‌های ۱۳۶۳ تا ۱۳۶۴ دانشیار مهمان دانشگاه کالیفرنیا، برکلی و در سال‌های ۱۳۶۳ تا ۱۳۶۴ استادیار مهمان دانشگاه کالیفرنیا، لس آنجلس (UCLA) و پژوهشگر ارشد مرکزین بین‌المللی فیزیک نظری و مرکز بین‌المللی مهندسی رئتیک و بیوتکنولوژی در تریست ایتالیا، انتستیتو ریاضیات کاربردی، آکادمی علوم چین، انتستیتو تکنولوژی برق هاربین و پژوهشگر آزمایشگاه تحقیقاتی الکترونیک دانشگاه برکلی، کالیفرنیا بوده است. موضوعات تحقیقاتی مورد علاقه وی حسابگری ریاضی، هوش محاسباتی، سیستم‌های نامعین، کنترل هوشمند، شبکه‌های عصبی و سیستم‌های چند مؤلفه‌ای، استخراج داده‌ها، هوش تجاری، مدل‌سازی مالی و مدیریت علوم می‌باشد. دکتر لوکس مؤسس پژوهشکده سیستم‌های هوشمند بوده است و در تأسیس چندین رشته مهندسی در ایران همکاری داشته است. وی صاحب امتیاز "تشخیص گر عصبی کلمات فارسی مجزا مستقل از گوینده" است. دکتر لوکس در سال‌های ۱۳۵۸ تا ۱۳۷۰ سردبیر نشریه دانشکده فنی بوده است. همچنین او نقدکننده مجله Mathematical Reviews (از سال ۱۳۶۶) و دیگر مجله IEEE (۱۳۶۹-۱۳۷۱) بوده است. وی همچنین مدیریت تعدادی از کنفرانس‌های بین‌المللی را بر عهده داشته است.



**معصومه گیتی** در سال ۱۳۳۹ در شهر درگز متولد شد. مدرک دکترای پژوهشکی را در سال ۱۳۶۶ و تحصص رادیولوژی را در سال ۱۳۶۹ با رتبه اول از دانشگاه تهران دریافت کرد. دکتر گیتی از سال ۱۳۶۹ به عضویت هیأت علمی بخش رادیولوژی دانشکده پژوهشکی دانشگاه تهران درآمد و هم اکنون دانشیار این دانشگاه است. ایشان در رشته‌های متنوعی از رادیولوژی تشخیصی شامل تصویرگری سینه و نورولوژی فعالیت دارد. از جمله موضوعات تحقیقاتی مورد علاقه وی می‌توان به تحلیل تصاویر پژوهشکی و تشخیص به کمک کامپیوتر اشاره نمود.

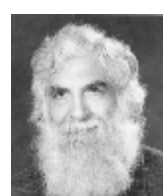
اکنون دانشجوی دکتری برق در دانشکده فنی دانشگاه تهران است. وی از سال ۱۳۸۰، پژوهشگر پژوهشکده‌های سیستم‌های هوشمند و علوم شناختی مرکز تحقیقات فیزیک نظری و ریاضیات می‌باشد. مدل‌های شکل‌پذیر، بینایی ماشین، شناسایی الگو و پردازش تصویر به خصوص در زمینه بخش‌بندی تصاویر پژوهشکی از جمله موضوعات تحقیقاتی مورد علاقه وی به شمار می‌رسد.

#### حیدر سلطانیانزاده در سال ۱۳۳۹ در شهر یزد



متولد شد. مدارک کارشناسی و کارشناسی ارشد را در رشته مهندسی برق، گرایش الکترونیک با رتبه اول در سال ۱۳۶۵ از دانشگاه تهران و مدارک M.S.E و Ph.D را به ترتیب در رشته مهندسی برق، گرایش‌های مخابرات- کنترل و سیستم- بیوالکتریک در سال‌های ۱۳۶۹ و ۱۳۷۱ از دانشگاه میشیگان (ان اربر) آمریکا دریافت کرد. وی از سال ۱۳۶۴ تا ۱۳۶۵ با مرکز تحقیقات مخابرات همکاری پژوهشی داشته و در سال ۱۳۶۶ مریبی گروه برق و کامپیوتر دانشکده فنی دانشگاه تهران در رشته مهندسی برق بوده است. دکتر سلطانیانزاده از سال ۱۳۶۷ با بخش رادیولوژی مؤسسه پژوهشکی فورد آمریکا همکاری پژوهشی خود را آغاز نمود و هم اکنون پژوهشگر ارشد این مؤسسه است. او از سال ۱۳۷۲ مجدداً به گروه مهندسی برق و کامپیوتر دانشکده فنی دانشگاه تهران پیوست و مدیریت گرایش مهندسی پژوهشکی را به عهده گرفت و هم اکنون استاد گرایش مهندسی پژوهشکی است. همچنین از سال ۱۳۷۴ به عنوان پژوهشگر ارشد با پژوهشکده‌های سیستم‌های هوشمند و علوم شناختی در مرکز تحقیقات فیزیک نظری و ریاضیات همکاری پژوهشی داشته است. موضوعات تحقیقاتی مورد علاقه وی شامل تصویرگری پژوهشکی، بازسازی تصویر و سیگنال، پردازش و تحلیل سیگنال و تصویر، شناسایی الگو و شبکه‌های عصبی می‌باشد و در این زمینه‌ها تاکنون متجاوز از ۳۰۰ مقاله در مجموعه مقالات کنفرانس‌ها و مجلات علمی به چاپ رسانده است.

#### کارو لوکس مدرک کارشناسی ارشد خود را در



سال ۱۳۵۲ از دانشگاه تهران دریافت کرد و در سال ۱۳۵۵ موفق به اخذ مدرک دکتری از دانشگاه برکلی، کالیفرنیا شد. وی استاد و مدیر قطب علمی کنترل و پردازش هوشمند گروه برق و کامپیوتر دانشکده فنی دانشگاه تهران و همچنین پژوهشگر ارشد